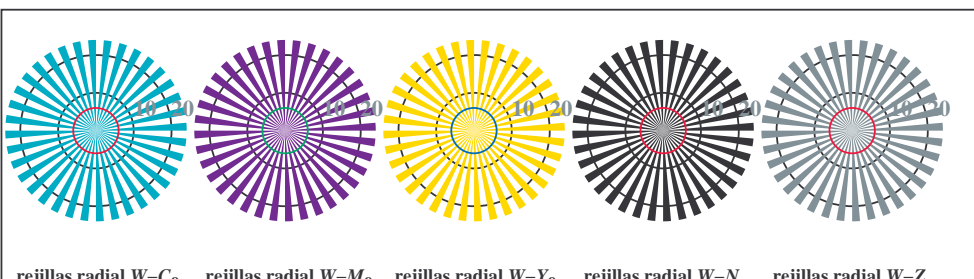


TS981-1, Fig. B4Wde: 16 equidistant pasos $W-C_e; W-M_e; W-Y_e; W-N$; $rgb/cmy0 \rightarrow rgb_{de} setrgbcolor$

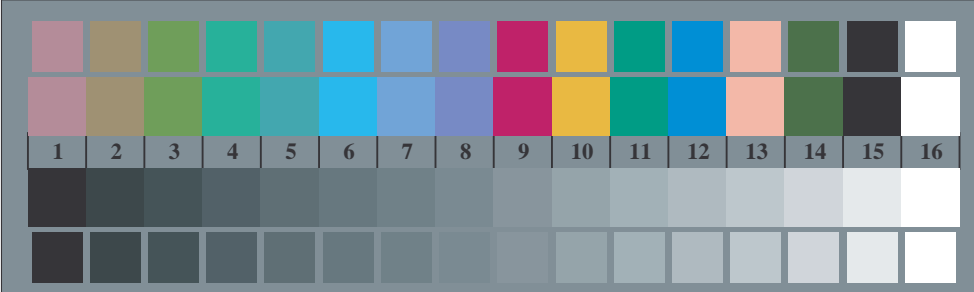
+-.:	Q	O	O	O	C	lmno	C	O	O	O	O	pqrs	O	O	O	O	tuvw	O	O	O
xyz;	O	O	O	O	O	hijk	O	O	O	O	lmno	O	O	O	O	pqrs	O	O	O	
tuvw	O	O	O	O	O	defg	O	O	O	O	hijk	C	O	O	O	hijk	O	O	O	
pqrs	O	O	O	O	O	!abc	O	O	O	O	+-.:	O	O	O	O	+-.:	O	O	O	
lmno	O	O	O	O	O	xyz;	O	O	O	O	xyz;	O	O	O	O	tuvw	O	O	O	
hijk	C	C	O	O	O	tuvw	O	O	O	O	defg	O	O	O	O	defg	O	O	O	
defg	O	O	O	O	O	pqrs	O	O	O	O	!abc	O	O	O	O	6	N	C_e M_e Y_e Z		
!abc	O	O	O	O	O	10	N	C_e M_e Y_e Z			8	N	C_e M_e Y_e Z							

TS981-3, Fig. B5Wde: código y Landolt anillos $N; C_e; M_e; Y_e; Z$; PS operator: $rgb \rightarrow rgb_{de} setrgbcolor$

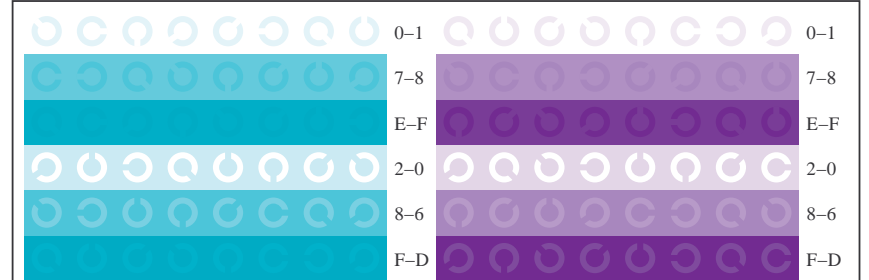


rejillas radial $W-C_e$ rejillas radial $W-M_e$ rejillas radial $W-Y_e$ rejillas radial $W-N$ rejillas radial $W-Z$

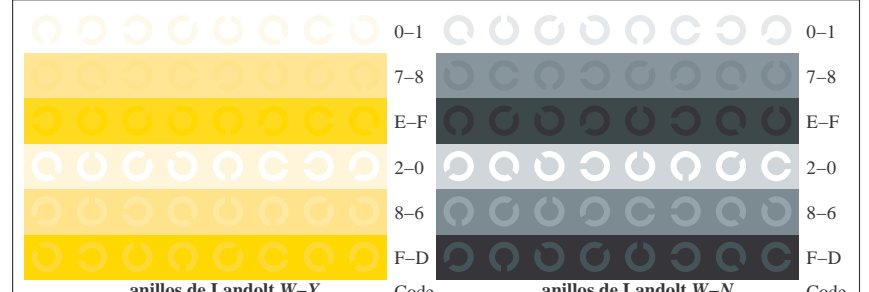
TS980-5, Fig. B2Wde: rejillas radial $W-C_e; W-M_e; W-Y_e; W-N$; PS operator: $rgb \rightarrow rgb_{de} setrgbcolor$



TS980-7, Fig. B3Wde: CIE 14 colores del test y 2 + 16 pasos de gris (sf); PS operator: $rgb/cmy0 \rightarrow rgb_{de} setrgbcolor$



TS981-5, Fig. B6Wde: anillos de Landolt $W-C_e; W-M_e$; PS operator: $rgb \rightarrow rgb_{de} setrgbcolor$



TS981-7, Fig. B7Wde: anillos de Landolt $W-Y_e; W-N$; PS operator: $rgb \rightarrow rgb_{de} setrgbcolor$